

# 最 高 指 示

自然科学是人們爭取自由的一种武装。人們为着要在社会上得到自由，就要用社会科学来了解社会，改造社会进行社会革命。人們为着要在自然界里得到自由，就要用自然科学来了解自然，克服自然和改造自然，从自然里得到自由。

## 斷 层 面 的 屏 蔽 作 用

九二三厂地质指揮所

### 問 題 的 提 出

近年来油田开发工作証明 SL 油田是一个多断层复杂油田。断层大多为低角度正断层，落差从几公尺到几百公尺；断层面的倾角一般为40—60度。

認识 S L 油田的断层为低角度正断层是有一个过程的。1965年以前解释的断层大都接近90度的正断层。当时認為，地台区的断层是70—90度的高角度正断层，加之記錄和剖面上存在自浅至深的系統終断，及采用了高閉鎖电压、高示波仪灵敏度、小放大格、小药量的工作方法，突出了第二标准层的断点，而深反射层減少，断点不清，因此，地震資料解釋的断层为高角度的正断层。图1虛線为1965年解释的断层。

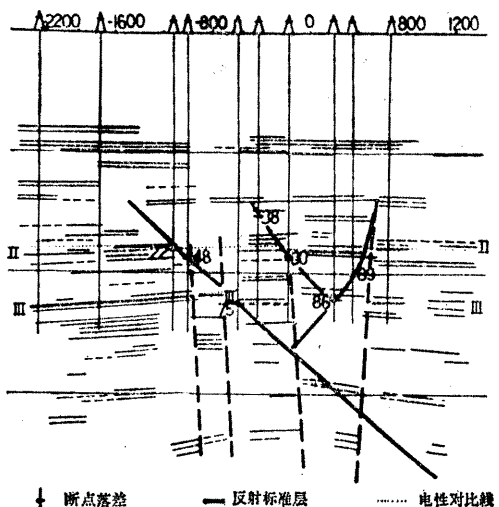


图 1 四条虛線表示的高角度正断层是  
1965年(勘探阶段)地震解释的断层。三条  
实綫表示的低角度正断层是1967年大量开  
发井网証实后地震重新解释的断层

根据地震資料解釋的断层布井，发现第二标准层附近的断点精度較高，在100米以內。而深层断点誤差很大，甚至是錯誤的。为了搞清原因，在断层的两侧布置了較多的成对井，发现断层面的倾角只有40度左右，見表 1。

断层名称	断层编号	对井井号	垂直距离(米)	断点高差(米)	断层倾角(度)
S北断层	1	T <sub>10</sub> 井 T <sub>28</sub> 井	570	467	40
		3—4—1 T <sub>28</sub>	450	372	40
		T <sub>28</sub> 3—2—9	500	403	38
		3—1—23 T <sub>17</sub>	550	443	39
		2—0—13 3—9—17	350	307	42
T <sub>1</sub> 断层	7	2—下 <sub>1</sub> —14 3—11—19	380	277	45
		2—0—20 3—9—21	350	360	45
		2—下 <sub>2</sub> —24 3—10—下 <sub>30</sub>	420	399	44
T <sub>1</sub> 向南断层	9				

根据毛主席的实践认识再实践再认识的教导，我們重新对以往地震資料进行了分析。經過几次反复，逐渐认识到 S L 油田的断层多为低角度的正断层。断层面下往往出現空白、畸变等現象。

断层面下的这种現象，SL 村构造的 1 号（S 北）断层、7 号（T<sub>1</sub>）断层、9 号（T<sub>1</sub>南向）断层都有。D Y 盆地的其它地区亦有。这种現象大体可以分为三种类型：

1、断层面下为三角空白带。在記錄上表現为断层面下反射波能量減弱，消失，或有少量零星的反射。在剖面上表現为断层面下的三角形面积中，沒有反射段或有少量反射段的空白带，过断层后反射波又恢复正常。这种現象多出現在落差較大的断层面下，如图 2。

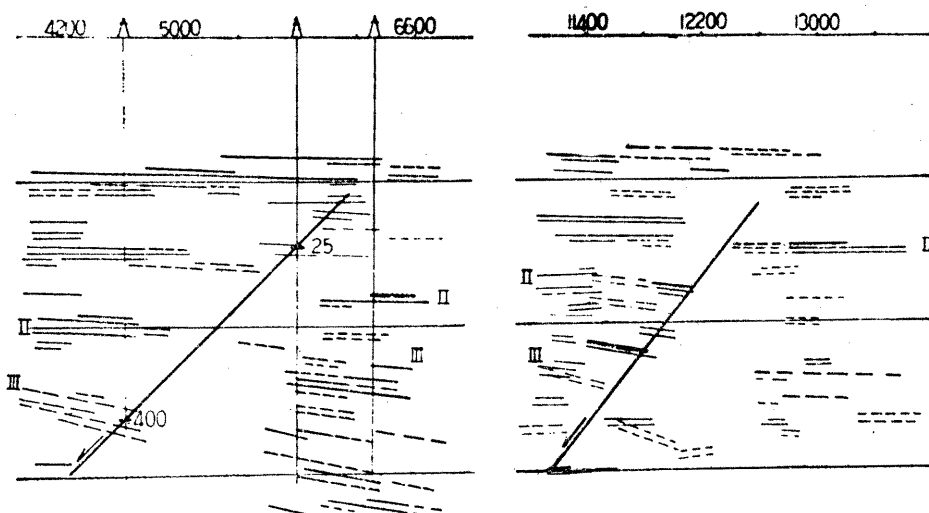


图 2 經鑽井証实的断层，断层面下出現一个整齐的三角形空白带

2、断层面下为产状畸变带。在记录上看，反射波进入断层面下，能量突然消失，而在剖面图上则出现自上而下的空白带。空白条带与断层面之间出现一些与正常反射波相似的反射，而产状及深度发生畸变。断层面的下降盘一般反射波正常，但在断层面的下降盘常又有新的断层出现，而使下降盘得不到好资料（见图3）。这种现象出现在落差不大的断层面下。

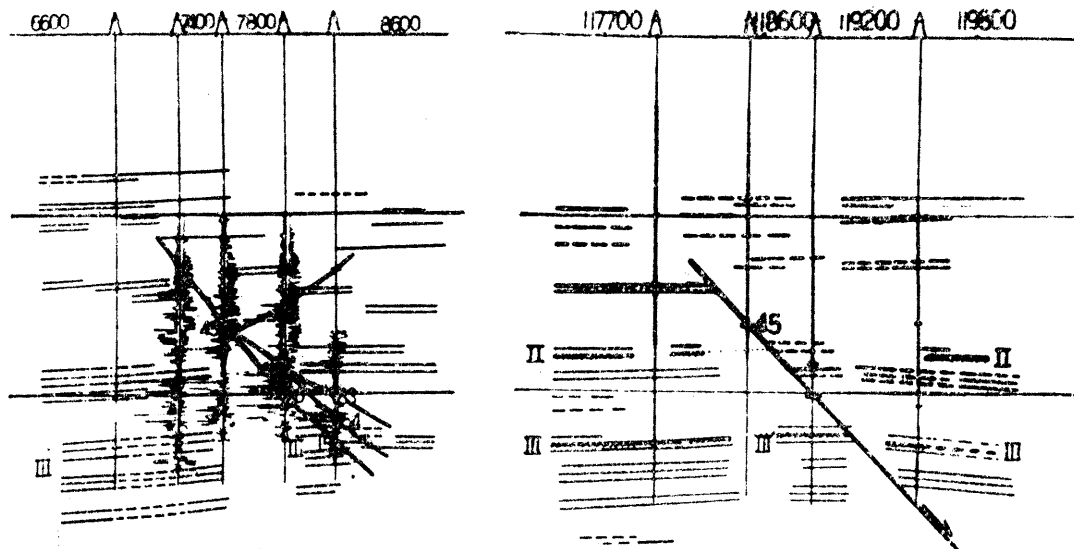


图3 左、断面两侧为鑽井揭示的岩性剖面.可看出III'与Ⅲ产状不同倾角变小

右、断层面已被4口井証实，III'反射段与记录上波段相似，但不能連續对比，在剖面上出現空白条带，III'反射段产状明显畸变

3、断层面下为杂乱带。在剖面上断层面下为产状不定的反射段所代替，记录上干涉现象比较严重，断层下降盘反射波恢复正常（见图4）。

从大量实践中知道：断层面以上反射波正常，断层面以下层次减少，能量减弱。反射段零碎，倾角发生畸变。鑽井资料已得到证实，断层面位于三角空白、畸变、杂乱带与下降盘正常反射段的交界线上。

断层面下的空白、畸变、杂乱等现象，给解释断层的产状带来困难，甚至造成错误。但我们只要把这些现象看作入门的向导，抓住它与断面关系的实质进行分析研究，掌握其规律，可以变不利为有利，利用断层的屏蔽现象帮助我们正确确定断层的产状要素。

经研究认为断层面下空白、畸变、杂乱等现象是断层面屏蔽作用造成的。

### 断层面屏蔽作用

造成断层面屏蔽的必要条件是断层面两侧有岩性、速度差异。本区从鑽井揭示的岩性、速度剖面来看，是存在着断层面屏蔽的必要条件。

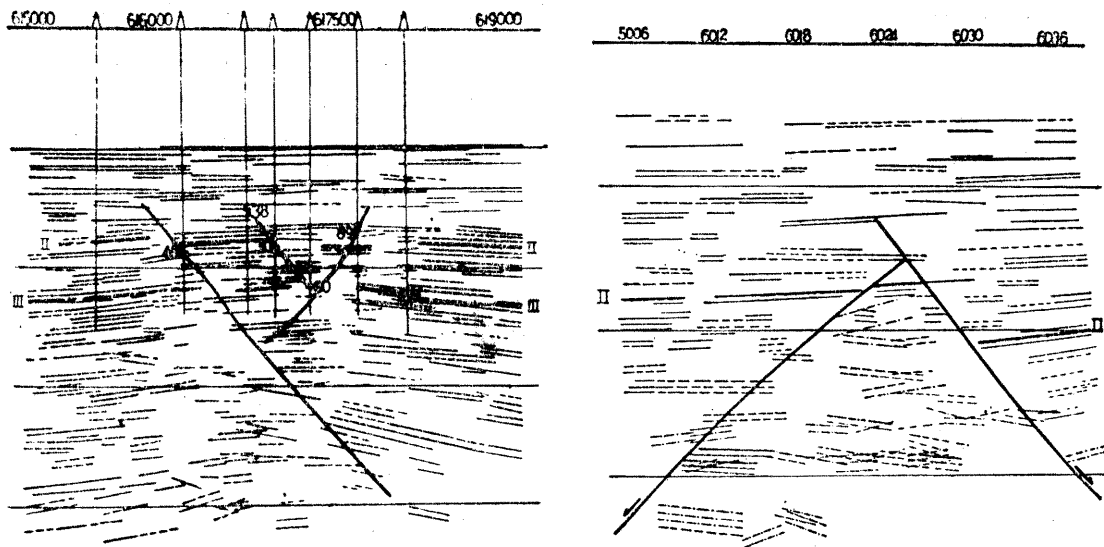


图4 断层已被鑽井証实，断层面上方反射段規則整齐，下方产状零乱，可看出断层面位于杂乱带与下降盘正常反射的接触面

断层面两侧岩性接触的类型可分为三种：

- 1、断层面两侧岩性完全不同，即断层一侧为高速层一侧为低速层（见图5左）。
- 2、断层面某一段的岩性差异大，某一段岩性差异小，即断面两侧某一段速度比  $n = V_1 / V_2$  大，某一段速度比小。图5中。

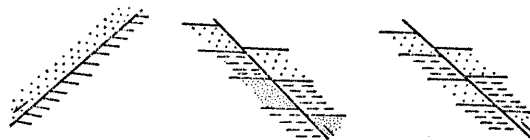


图5 断层面两侧岩性差异示意图

3、断层面两侧岩性完全不同，为一系列速度不同的砂泥岩互层(图5右)。

图3及图6即是鑽井揭示的两种岩性剖面例子。

弹性波入射到这样的断面上，就要产生屏蔽現象，断层面的屏蔽包括能量屏蔽及射線畸变两个內容。

(一) 断层面对能量的屏蔽作用。断层面两侧岩层的速度不同，使断层面成为波阻抗界面，弹性波通过断层面时，一部分能量被反射回来，使断层面下的反射波能量变弱，在剖面上出現空白等現象。这种現象在模拟实验上清楚地表現出来。

当模型的断面为3毫米厚的塑料板时，断面下的能量普遍比正常反射区弱一倍左右，见图7。当断面象图8那样，断层面 a b, c d 下（有岩性差异）的反射波变弱，无断面的 b c, d e 段下，反射波能量与正常反射区相同。

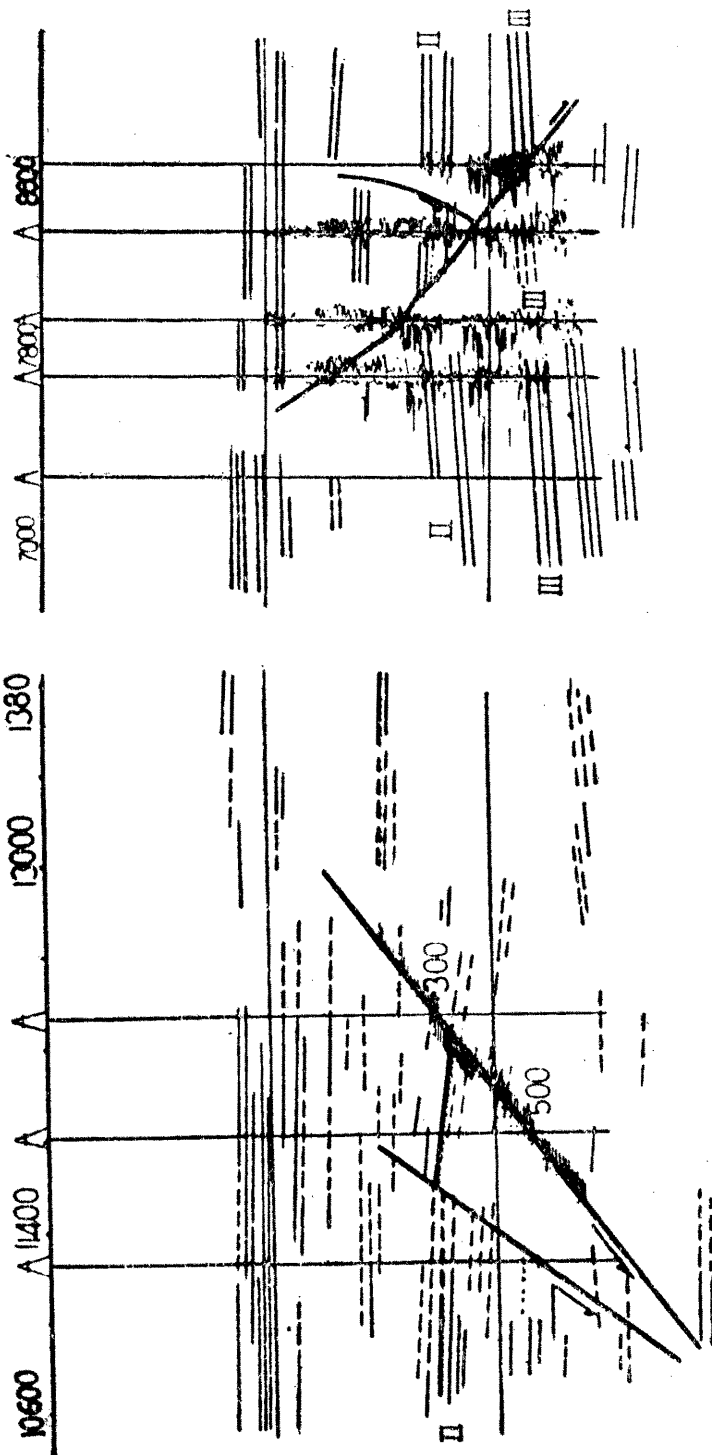


图6 左、断层面下为泥岩，上为砂岩  
右、断层面两侧为鑽井揭示的岩性剖面，可以看出它与断层面下的空白及畸变有关

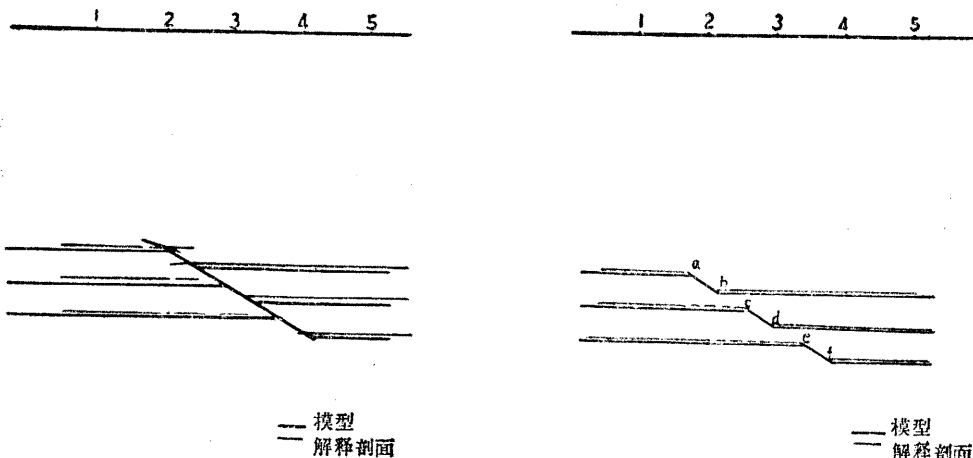


图7 断面为3毫米塑料板，  
断面下能量普遍比正常区小一  
倍，断面下的空白区是弹性波多  
通过断层面而形成的

图8 a b、c d、e f为断面，  
断面下能量减弱或消失，无断面  
的b c，d e下面，反射波的能量  
与正常区同

断层面对于反射波能量起屏蔽作用与断层面两侧的速度比  $n = V_1 / V_2$  有关。速度比越大，能量屏蔽作用越大。这种能量屏蔽作用是使图2断面下出现空白的原因之一。

断层面下的反射波能量的强弱除与速度比  $n = V_1 / V_2$  有关外，还与入射角  $i$  有关，如图9。

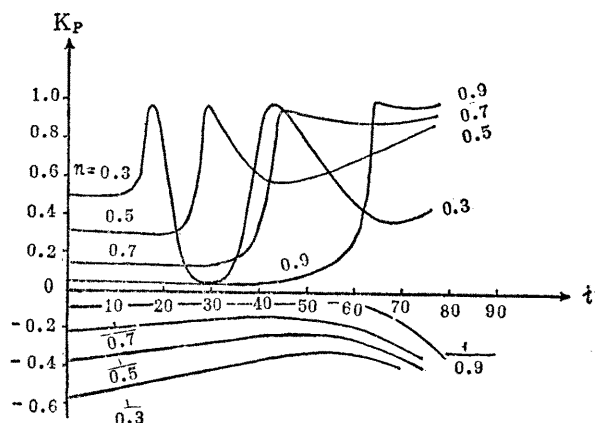


图9 反射系数  $K_p$  与速度比  $n$   
入射角  $i$  的关系曲线图

当上升盘速度小于下降盘速度 ( $V_1 > V_2$ ) 时，弹性波由炮点出发入射到断面，断面的反射系数为负值。由图9可知，反射系数随入射角的变化而变化是不明显的。但弹性波通过断面经地层反射回到断面则反射系数为正值，当入射角到某一值时，反射系数突然增加到0.9—1.0。

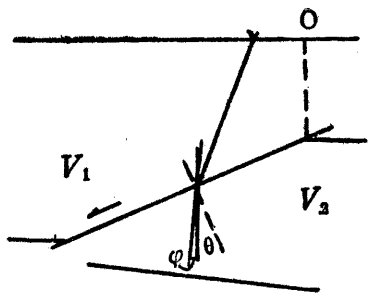


图10

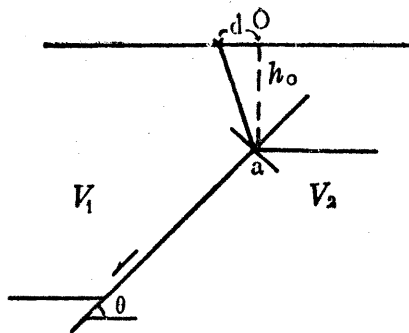


图11

从图10可看出， $i_0$ 道射線，回到断面的入射角  $i_0 = \theta + \varphi$ 。

設  $\theta = 40^\circ - 60^\circ$

則  $i_0 > 40^\circ - 60^\circ$ ，若速度比  $n = V_1 / V_2$  在 0.7 左右，从图 9 看出入射角大于 40 度时，90% 以上的能量被反射回来，弹性波基本上回不到地面。上升方向的半个排列同理得不到反射。当  $\theta$  小于 40 度时断面下倾方向的半个排列可能得一些半支的同相軸；当  $\theta$  較大时也可能什么也得不到，或得到小于半支的同相軸，使断面下面的資料变坏，或在剖面上出現空白帶。

当上升盘的速度大于下降盘的速度 ( $V_1 < V_2$ ) 时，炮点到O点的距离  $d$  小于  $h_0 \tan(\theta - 40^\circ)$ ，見图11。炮点发出的弹性波到断面的入射角大于 40 度，大部分能量被反射回来使剖面上出現空白帶。

O点为断面上开始有岩性差异的点在地面上的投影；

$h_0$ 为断面上开始有岩性差异的点到O点的距离；

$\theta$ 为断面的倾角。

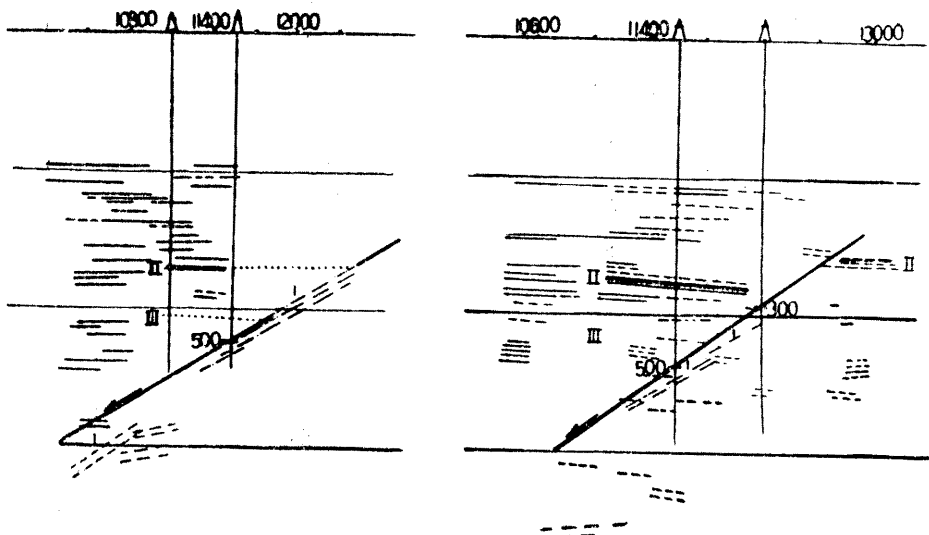


图12 断层已被鑽井証实，断层落差  
300—500米，反射段 1 为断面反射

由此可見弹性波入射到断层面上，有一部分能量不能通过断面而被反射回来，使断面下的反射能量减弱，当炮点距O点的距离  $d \geq h_0 t \tan \theta$  时，可能接收到断面反射回来的波。即为断面反射。用断面反射波构成的界面倾角为断层倾角，位置在断层面附近。如图12。

当炮点位于O点的另一侧时，这种断面反射是不可能接收到的。但炮点位置合适时（距O点距离大于  $h_0 t \tan(\theta + 2\varphi)$  的某一范围）可能接收到如图13的反射波，我們叫这种波为断面多次反射。

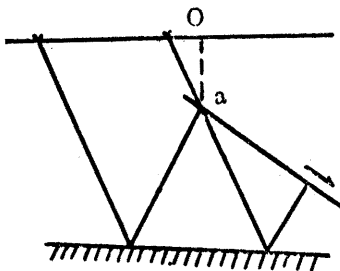


图13

断面的两次反射时距曲綫方程式：

$$t = \frac{1}{V} \sqrt{x^2 + 4H \sin(\theta + 2\varphi) + H^2}$$

式中  $H = 2h_1 \cos(\theta + \varphi) + L \sin(\theta + \varphi)$

图上L为负值（见图14）。

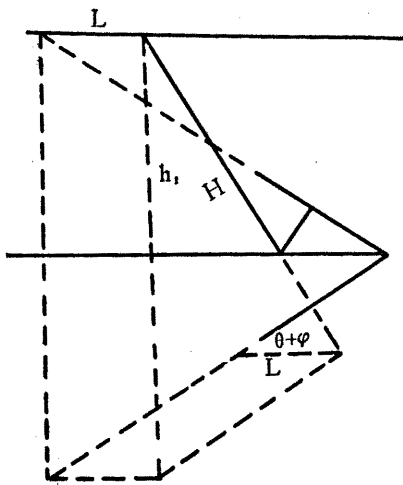


图14

根据得到的时距曲綫作出的反射界面为断面对反射层的鏡象，其法綫深度为H，界面倾角为  $\theta + 2\varphi$ 。

断面的多次反射在记录上产生干涉，在剖面上它的等效界面与其他反射段相交，使

断面下的反射变乱(见图15)。

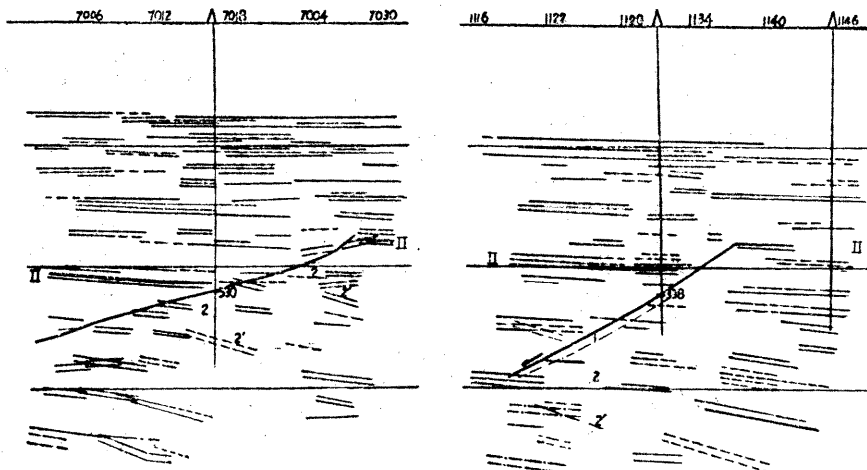


图15 断面已被鑽井証實2'为2的断面二次反射，1为断面反射

只要我們能正確認出它是断面多次反射，就可以利用它来大致判断断层的产状要素。

总之，由于断层面的屏蔽作用，使反射波通过断面损失一部分或大部分能量，是造成断层面下反射段零碎，出現空白等現象的原因之一。这种屏蔽作用在落差較大的断层上显得突出。

## (二) 断层面对射线的畸变作用

### 1、射线畸变的一般現象：

(1) 断面的下降盘速度小于上升盘速度，炮点激发出的弹性波由低速介质通过断面进入高速介质，由  $\frac{\sin \alpha_1}{V_1} = \frac{\sin \alpha_2}{V_2}$  可知射线要偏离法线。經断面下的地层反射再通过断面回到地面。射线所走的路程与无断面时大有差別。

設断面 aC (見图16)，a 点以上无岩性差异，a 点以下有岩性差异。a 点在地面的投影为O点，a 为始点。

弹性波通过 a 点以上的断面时，按无断面的正常反射回到地面，但弹性波通过 a 点及 a 以下断层时要发生畸变。断面无岩性差异时通过 a 点的射线在 A 点接收到，有岩性差异时通

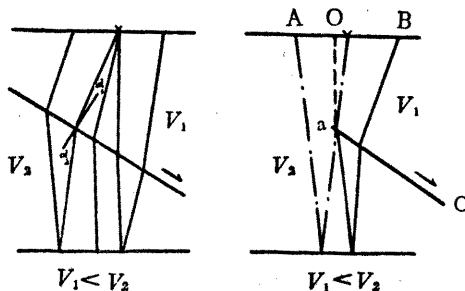


图16

过 a 点的射线回到地面 B 点。弹性波通过 a 点以下的断面经地层反射回到地面则都落到 B 点以外，AB 之间接收不到反射，因而造成如图 3 的空白条带。断面两侧速度比  $n$  越大则空白条带越大。

下面以这种认识来解释 165.5 剖面的空白带(图17)，该测线的岩性剖面参看图 6。当 7800 棱号激发出弹性波，射线由速度为 2000 米/秒的泥岩，经过断面进入速度为 2800 米/秒的砂岩。过 a 点的射线反射后到地面，在 7800 棱号的 400 米排列内是接收不到的。通过 a 点以下的射线回到地面则落到 B 点以外，使 AB 之间接收不到反射波，这是使剖面出现空白条带的可能原因。由于 E 点以下某段的断面两侧岩性差异小，则得到了Ⅲ' 较弱的畸变了的反射波，这种解释可能是图 3 的空白条带的原因之一。

(2) 断面下降盘的速度大于上升盘的速度时，弹性波通过断面的畸变如图18所示。射线通过图18 右的 a 点到B点畸变了的射线落在 A 点的另一侧，可能与上升盘正常反射发生干涉。AB 之间能接收到反射波。自上而下的空白带将不存在，可能在 A 点附近出现假断点。

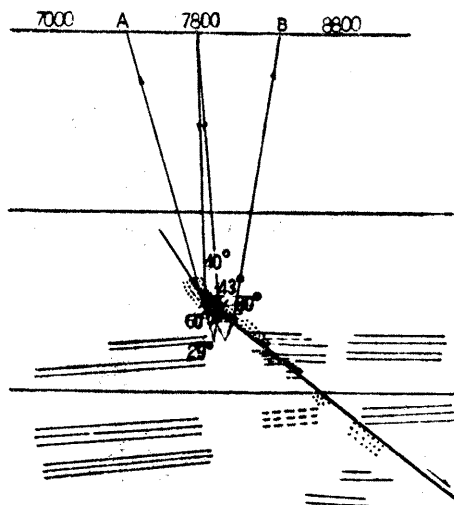


图17

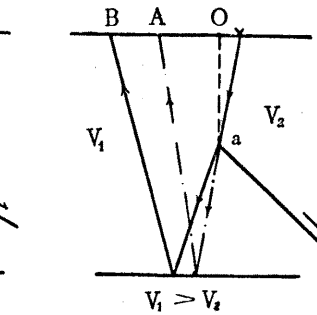
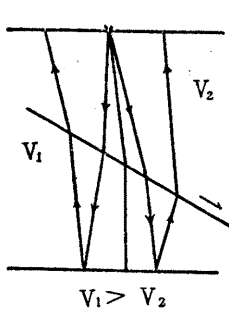


图18

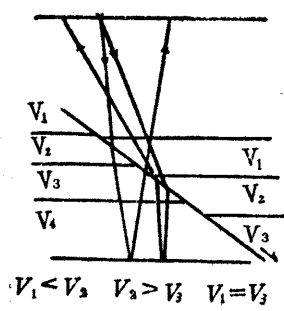


图19

(3) 当弹性波入射到如图 5 右的断面时，畸变了的射线路程如图19所示，将接收到杂乱的反射、绕射、侧面波及干扰等。可能使剖面上出现杂乱带，也可能因为干涉严重无

法分解而出現空白帶。

所以，彈性波通過有岩性差異的斷面，射線所走的路程與無斷面時相比有很大差別。但我們繪制剖面時，還用一般正常方法，沒有進行其他任何校正，因此得到的剖面在斷層面下不但出現了空白條帶，還出現了傾角變大變小；深度變深變淺等各種畸變現象。

## 2、斷層面下反射段畸變原因分析：

斷層面下反射段的傾角變大，或變小，及深度的改變主要由速度及射線路程的改變引起的。

### (1) 射線路程變化產生反射段的畸變。

當下降盤速度小於上升盤速度時，炮點1、2， $t_0$ 道射線所走的路程為實線所示。2炮點 $t_0$ 射線所走的路程比1炮點 $t_0$ 射線所走的路程要長，如圖20。

當下降盤速度大於上升盤速度時，可得到同樣的結果，即炮點2的 $t_0$ 射線所走的路程比炮點1的 $t_0$ 射線所走的要長，如圖21。

層狀介質的條件下，炮點2的反射波所走的路程永遠比炮點1反射波所走的路程要長，如圖22、23所示。

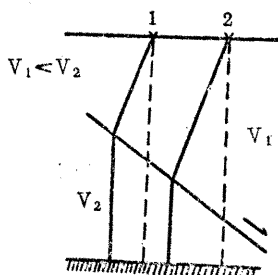


图20

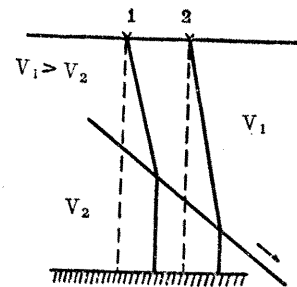


图21

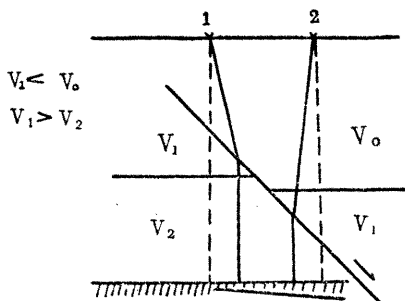


图22

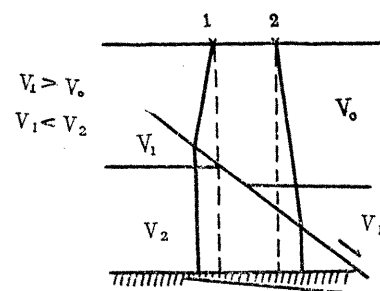


图23

落差不大的斷層及層狀介質的條件下，斷層面兩側的有效速度差異很小，引起反射波時間變化主要是射線路程決定的。因此，可以得出炮點2反射波的 $t_0$ 時間要比炮點1長，構出的反射段為下傾。在1區斷層上升盤的地層產狀多為上傾，畸變結果使產狀變緩，深度加深，如圖24。

畸變的大小與速度比 $n = V_1 / V_2$ 及斷面傾角有關， $n$ 越大反射段畸變越大，斷面的傾角畸變越大。

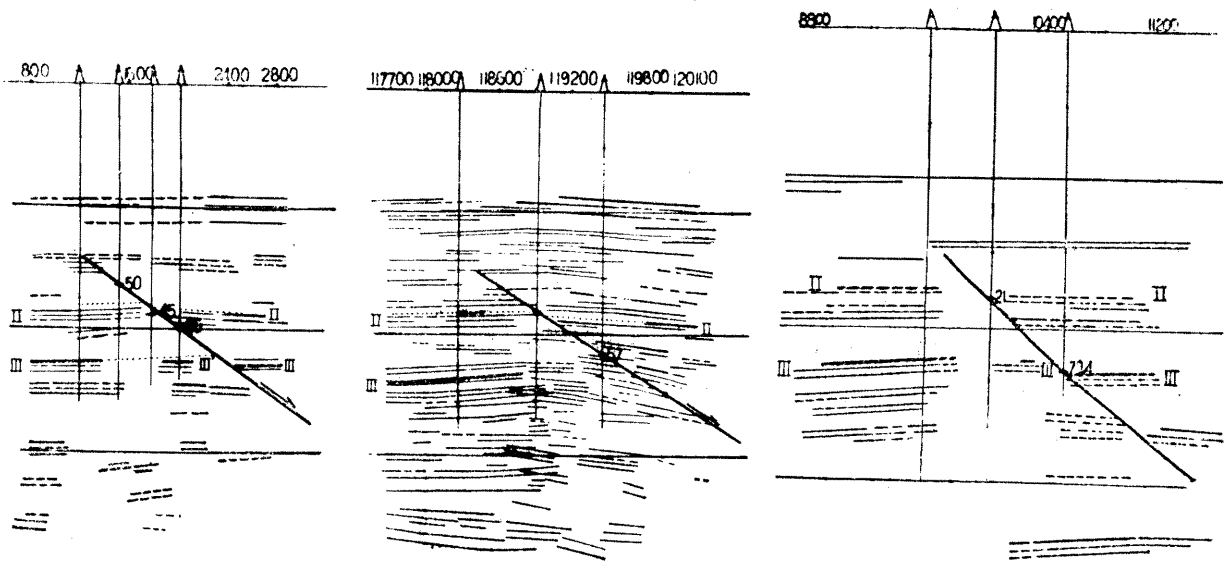


图24 图中断层已被鑽井証实，可看出三角带清楚、三角带內反射段傾角变小，断面位置位于三角带与断层下降盘正常反射的接触面上。

### (2) 速度引起的反射段产状的畸变。

射綫穿过高、低速层的厚度不同可以引起反射段产状的变化。当下降盘的速度小于上升盘的速度时，炮点1穿过低速层厚度比炮点2穿过低速层的厚度小，炮点1穿过高速层的厚度比炮点2穿过低速层的厚度要大，则炮点2比炮点1同样路程所用的时间要多，而使反射段下倾，深度变深如图25。若地层倾角为上倾时，则剖面上反射倾角变小，深度变深。

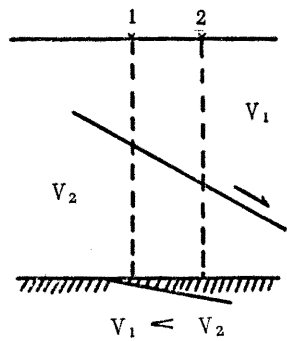


图25

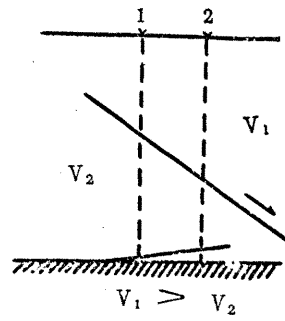


图26

当下降盘的速度大于上升盘的速度时，得到的界面倾角与上相反。若地层倾角也为上倾时，则剖面上反射段的倾角变大，深度变浅，如图26。

### (3) 屏蔽阴影及形状。

屏蔽范围的大小与地层的产状要素和断面的产状要素有关。为了討論方便，設断面倾角 $\theta$ ，断面上开始有岩性差异的点为a，在地面上的投影为O，炮点到O点的距离为d，a点到地面的距离为 $h_0$ ，O点到地层的垂直深度为h， $\varphi$ 、d以图27所示为正值，由图可以看出剖面上屏蔽范围。

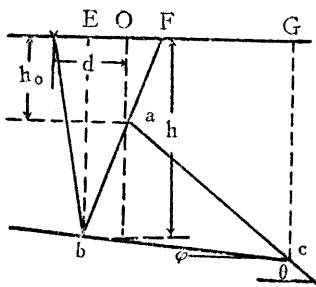


图27

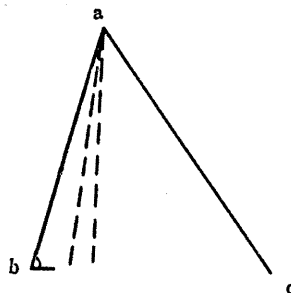


图28

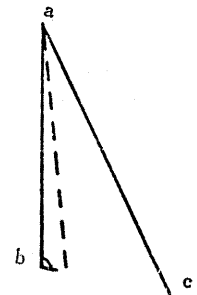


图29

$$l = EO + OG$$

$$OG = \frac{(h - h_0)c \tan \theta}{1 - \tan \varphi \cot \theta} \quad (1)$$

若测线走向与断层走向垂直，则 $\theta$ 为真倾角，不垂直时式中 $\theta$ 为视倾角以 $\theta^*$ 表示，而 $\theta^*$ 永远比 $\theta$ 小。测线与断层走向的夹角越小，则 $\theta^*$ 与 $\theta$ 差越大，由(1)式可知屏蔽范围越大，但断面下的反射段畸变越小。在野外布置测线时垂直断层或不垂直断层，就要看我们的需要。垂直断层则使屏蔽范围小，畸变大，可能三角带更清楚，对确定断层有好处；不垂直断层走向，断层面下反射畸变小，可能对我们研究断面下的构造有利，但断点不清。

影响屏蔽范围的还有 $EO$ 的大小， $EO$ 可由下式表示：

$$EO = \frac{d - h \tan(\alpha - 2\varphi)}{1 - \tan(\alpha - 2\varphi) \tan \varphi} \quad (2)$$

而 $\alpha$ 是 $h$ 、 $h_0$ 、 $d$ 、 $\varphi$ 的函数，可由下式表示：

$$\begin{aligned} & \tan^2 \alpha [(h - h_0) \tan 2\varphi - d \tan \varphi \tan 2\varphi] + \tan \alpha [2h - h_0 \\ & - d \tan 2\varphi] - h \tan \varphi \tan \alpha - h \tan 2\varphi - d = 0 \end{aligned}$$

下面讨论几个参数变化时引起屏蔽范围及形状的变化。

$$(1) \text{ 当 } \varphi = 0 \text{ 时, } \tan \alpha = \frac{d}{2h - h_0}$$

$$EO = \frac{h - h_0}{2h - h_0} d$$

若 $h_0$ ， $d$ 不变， $h = h_0$ 时， $l = 0$ 。反射层越深时（ $h$ 越大）， $EO$ 增大， $OG$ 增大，则屏蔽阴影为一个以断面为一边的锐角三角形，如图28。

当 $d$ 减小时，锐角三角形的 $ab$ 边向断面靠近， $\angle b$ 随 $d$ 减小而增大。当 $d = 0$ 时， $\angle b = 90^\circ$ ，则屏蔽阴影为一直角三角形，图2即是一例。

(2) 当 $\varphi > 0$ 时，屏蔽阴影仍为一个一边为断面的锐角三角形，只是 $h$ 、 $d$ 、 $h_0$ 相同的条件下三角形面积大些。

$d$ 的变化引起三角形的变化与上相同，但当 $d = 0$ 时不是直角三角形，面积最小；

$d < 0$  即炮点在下降盘一侧时屏蔽阴影仍为锐角三角形。

(3) 当  $\varphi < 0$ ,  $d$  比  $h$ ,  $h_0$  小得多时。 $h$  增大时,  $|EO|$ 、 $OG$  增加。只是  $EO < 0$ , 则屏蔽阴影为一钝角三角形(见图29)。图2为实例。

当  $d$  减小时,  $a b$  向断面靠近,  $\angle b$  增大。

当  $d = 0$  时, 面积减到最小。

$d < 0$  时, 则为一个锐角三角形。

当  $\varphi$  随  $h$  增大而增大时, 则三角形的  $a b$  边为曲线, 如图15右。

由上讨论不难看出:

(1) 屏蔽范围为一三角形, 炮点离O点的距离越小则屏蔽影响范围越小, 炮点在O点时, 屏蔽的范围缩到最小。

(2) 地层倾角的变化则引起屏蔽阴影的变化, 地层向断面上倾时的阴影要比地层向断面下倾时的阴影要小。

(3) 断层埋藏深度越深则断面的影响越小。

在实际工作中, 断层的埋藏深度, 地层的倾角我们是无法选择的, 但炮点到O点的距离可以选择, 只要我们能使炮点落到O点, 则使三角空白杂乱及畸变区减到最小, 这将有利于我们的解释工作。因此在野外工作时应在断层附近加密炮点。

## 結論

1、断面的屏蔽作用是存在的。屏蔽阴影为一三角形, 当断层上升盘的地层向断层面方向上倾时, 以断层上开始有岩性差异的点在地面投影为界; 炮点在它的上升盘时, 屏蔽阴影为钝角三角形; 炮点在下降盘时, 屏蔽阴影为锐角三角形。当断层上升盘的地层向断层面方向下倾时, 屏蔽阴影为锐角三角形。当断层上升盘的地层的倾角随深度而变化时, 则屏蔽阴影的三角形一边为曲线。

三角形的面积随炮点位置改变而变化, 炮点靠近断面上开始有岩性差异的点时, 三角形的面积减少, 炮点恰好在断面上开始有岩性差异的正上方时, 屏蔽阴影最小。当断层的上升盘地层为水平时, 则屏蔽阴影为直角三角形。

2、断层面的屏蔽在记录上表现为断层面下反射波能量变弱或消失, 产状畸变, 反射零碎。在剖面上表现为断层面下出现三角空白、杂乱、畸变及由浅到深的系统中断等现象。断层面下的三角空白带主要出现在大落差的断层下面, 断层面位于三角空白、畸变、杂乱带与下降盘正常反射的接触面上。在断面附近可能出現断面反射波或断面多次反射波。

3、断层面屏蔽引起的产状畸变, 可能使反射段倾角变大变小, 深度变深变浅, 造成假断点。

在落差较小的断层下面, 地层的倾角向断层面方向上倾时, 反射段倾角变小, 深度变深。当地层的倾角向断层面方向下倾时, 反射段倾角变大, 深度变深。

在落差较大的断层下面, 反射段的倾角变大变小, 深度变深变浅都可能发生。

4、断层面屏蔽引起反射段产状的畸变大小与断面两侧的速度比, 断面的倾角有关。断面两侧的岩层速度比越大则畸变越大, 断层面倾角越大则畸变越大。